

北海道開拓局 石狩川開拓建設部 正員 山口 甲
北海道開拓局 土木試験所 ○正員 長谷川茂

考え方

広い流域を有する河川での融雪流出量の予測には、気温を融雪要因の重要な指標と考え、短時間の融雪による問題となる融雪洪水時にデグリーアワー法を用いる方法がある。しかし、多くの場合流量予測の最小時間間隔は日単位として推算が行われている。ところで、洪水予報業務を行なう場合を考慮すれば、1時間程度で洪水流出量を予測する予知法が必要となつてゐるが、本文では石狩川上流域の保育地帯（流域面積 3,878.6 km²）を対象にその方法を検討した。すなわち、流域地形を 20km × 20km のメッシュ化により把握し、それぞれメッシュのエレメントの積雪量、時間融雪量、河道への流出を多因子解析法によって系統的に電子計算機を利用して演算し、時間流量を予知するものであり石狩川への実用化が可能である。

1. 積雪相当水量分布の推定

積雪相当水量は積雪深と雪の平均密度を乗ることによって求められるが、その分布は地形の影響を受けるたゞ一様の積雪深を示さない。そこで積雪に影響を及ぼす地形因子を抽出して地形因子と積雪の関係から任意地点の積雪深を求める方法が研究されてゐるが、ここでは表-1 に示した地形因子を用いることにし、スノーサーベイあるいは気象観測所で測定された積雪深、雪の平均密度から多重回帰方程式の係数を求め任意メッシュ格子点の積雪相当水量を算定することとした。すなわち積雪深推定の方程式は、

$$H_s = A_0 + A_1 X + A_2 Y + A_3 X^2 + A_4 Y^2 + A_5 X \cdot Y + A_6 P_3 + \dots - A_{17} P_{14} \quad (1)$$

ここで H_s : 積雪深 X, Y : 座標 A_0, A_1, \dots, A_{17} : 定数、係数 P_3, P_4, \dots, P_{14} : 表-1 参照で求めろ。また、雪の平均密度は、

$$H_p = A_0 + A_1 X + A_2 Y + A_3 X^2 + A_4 Y^2 + A_5 X \cdot Y + A_6 P_3 + \dots - A_{17} P_{14} + A_{18} H_s \quad (2)$$

H_p : 雪の平均密度

A_0, A_1, \dots, A_{17} : 定数、係数

で求める。ここで、 H_p の実測値は $0.1 \leq H_p \leq 0.6$ の範囲にあつたので(2)式にはこの条件を入れて計算した。

表-1 地形因子

記号	因 子 名	定 義
P_3	高 度	地表の標高(m)
P_4	起伏度(半径 1km)	地表を中心とした半径 1km 以内の最高点の標高と地表の標高との差
P_5	起伏度(半径 5km)	地表を中心とした半径 5km 以内の最高点の標高と地表の標高との差
P_6	起伏度(半径 10km)	地表を中心とした半径 10km 以内の最高点の標高と地表の標高との差
P_7	傾斜(S-N方向)	地表の南 1km 点の標高と、北 1km 点の標高との差
P_8	傾斜(E-W方向)	地表の東 1km 点の標高と、西 1km 点の標高との差
P_9	凹凸度半径(S-N方向)	地表の南 1km 点の標高、地表の標高より北地表の北 1km 点の 3 点を結んで三辺形の外接円の半径
P_{10}	凹凸度半径(E-W方向)	地表の東 1km 点の標高、地表の標高より北地表の西 1km 点の 3 点を結んで三辺形の外接円の半径
P_{11}	地面傾斜	$((H-\bar{H})_{XY}-(H-\bar{H})_{X,Y-1})/D$ H : 地表の標高、 D : メッシュ間隔、 \bar{H} : メッシュ間隔内に含まれた周囲の 4 地点における平均値
P_{12}	全 工	$((\bar{H}-\bar{\bar{H}})_{XY}-(\bar{H}-\bar{\bar{H}})_{X,Y-1})/D$ \bar{H} : メッシュ間隔内に含まれた周囲の 4 地点における平均値
P_{13}	全 エ	$((\bar{H}-\bar{\bar{H}})_{XY}-(\bar{H}-\bar{\bar{H}})_{X,Y-1})/\bar{H}$ \bar{H} : メッシュ間隔内に含まれた周囲の 4 地点における平均値
P_{14}	全 ゼ	$(\bar{H}_{XY}-\bar{\bar{H}}_{X,Y-1})/D$ (註: $P_{11} \sim P_{14}$ は、主風向が X 軸の正方向の場合の計算式を示す。)

2. 融雪流出量の推算式と計算結果の考察

融雪期における河川からの流出量 Q は、基底流量 Q_B 、融雪による流量 Q_S 、降雨による流量 Q_R とすれば $Q = Q_B + Q_S + Q_R$ で表わされる。 Q_B と除いた直接流出 Q_S 、 Q_R について立地単位図法を応用すれば、融雪時の貯集中量 i_s'' は

$$i_s'' = 0.2778 \frac{1}{\alpha'} \cdot \frac{L^{0.7}}{0.7} \cdot \frac{d}{dL} \left(\sum_{j=1}^n a_j R f_j \right) \quad \dots \dots \dots \quad (3)$$

と表わされる。ここで

a : 任意メッシュ内の面積 (km^2) n : dL 区間にあるメッシュの個数 f : 流出係数 L : 距離 (km)
また、 R は次式とする。

$$R = R_R + R_S \quad \dots \dots \dots \quad (4)$$

$$\text{ここで } R_R = r \cdot dt, R_S = \left\{ T_0 + (H_0 - H_M) \times \frac{\beta}{100} \right\} S_M \cdot dt, 0 \leq R_S \leq H_w$$

r : 降水強度 (mm/hr) 温度 T が $T > 0$ の場合は降雨、温度 T が $T \leq 0$ の場合は降雪

T_0 : 基地局の気温 ($^\circ\text{C}$) H_0 : 基地局の標高 (m) H_M : 任意メッシュ内の標高 (m) (4格子点の平均標高)

β : 温度依存率 S_M : デグリーアワーフクター ($^\circ\text{C}$ でか) dt : 時間間隔 (hr) H_w : 任意メッシュ内の積雪相当水量 (mm)

立地単位図法では流域内一様の降雨分布を考えているが (3)、(4) 式は融雪時にかかる高度の温度依存率による融雪量の変化と融雪面積の変化に対応した貯集中量を考へているものである。また、流域に降水量があったときに任意メッシュ地央の気温が 0°C 以下の場合は降雪として任意メッシュ内に積雪相当水量に加算して一時貯留し、 0°C 以上の場合は降雨として直接流出する。 $0 \leq \sum R_S \leq H_w$ は累加融雪量の範囲を示し $\sum R_S > H_w$ とすれば新しい降雪がない限りこの地点からの流出は生じないことに付り從来考へられている雪線を表わしている。流出量の計算は貯留方程式 $S = k g$ と連続の方程式 $ds = (i_s'' - g) dt$ を用いる。

融雪時にかかる流出量の計算は 3 月 1 日 0 時より始めるにしたが、これに用ひる定数、係数は充分解明されていない。そこで、温度依存率 $\beta = 26$

$$^\circ\text{C}/100\text{m} \text{ 河川流出係数 } \gamma = V/\Sigma Q' \quad V = \frac{\text{積雪量}}{\text{総流域面積}}$$

積雪の総包蔵水量 + 融雪期間の総降水量、
 $\Sigma Q'$ は融雪期の実測総流量、 $K = 1/C$ 。

C は実測流量の依存係数の初期値を用いて計算をくり返したもの、 α' は $0.28 \sim 0.40$ 程度、 S_M は $0.11 \sim 0.14$ 程度にがるこ
とがわかった。これは昭和 43 年～45 年の 3 年にわける伊納測水所地央での値であるが、同じ流域内の旭橋、中愛別、曉橋、西神楽測水所地央で計算した結果もほぼ伊納と同じ結果を示した。図-1 に代表的な伊納の計算結果を示したが実測値によく集束している。洪水予報業務を行なう場合には融雪が始まってからの実測流量とあらかじめ仮定した γ 、 K 、 α' 、 S_M を用いた計算流量と比較しながら逐次係数を修正していく。48 年の融雪期で実際は実験したところ、 K を修正するだけで充分であった。基地局の気温、降水量の予測値に基づき流出量を予知することができる。実務に供している。

参考文献

- 1) 東田健二 水文気象誌(XIII) 水理の研究 12巻第 1 号 1968年 6 月
- 2) 丸安隆和 内田正人 田浦秀春 新型算算による融雪はらびに流出解析 1984年 4 月 土木学会論文報告集第 164 号

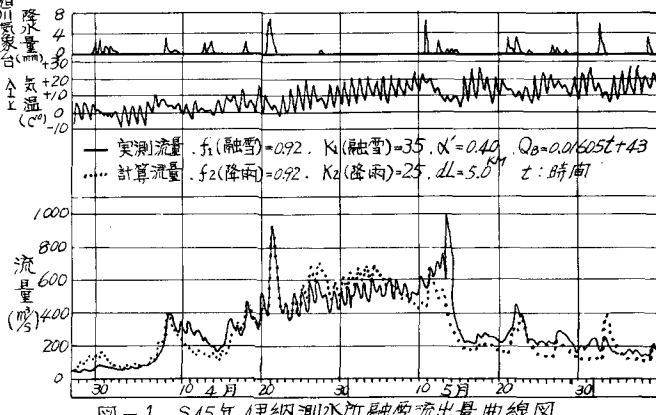


図-1 S45年伊納測水所融雪流出量曲線図